

کاربرد نانوپودر سیلیکای تثبیت شده در آلتزینات برای جذب کادمیم از محلول های آبی

رضا درویشی چشمہ سلطانی^۱ محمدجواد قنادزاده^۲
حاتم گودینی^۱ محمدصادق رجایی^۳ مهدی صفری^۴

(دریافت ۹۲/۱۰/۹ پذیرش ۹۳/۵/۲۲)

چکیده

هدف از این پژوهش، مطالعه جذب سطحی کادمیم بر روی نانوپودر سیلیکای تثبیت شده در آلتزینات کلسیم و تعیین ایزوترم، سینتیک و ترمودینامیک جذب بود. از راکتورهای جریان ناپیوسته برای برسی تأثیر pH اولیه، زمان تماس و غلظت یون های فلزی بر جذب کادمیم استفاده شد. زمان تماس و pH اولیه مطلوب برای جذب سطحی کادمیم به ترتیب ۱۲۰ دقیقه و ۴ به دست آمد. با افزایش غلظت یون کادمیم از ۱۰ میلی گرم در لیتر، میزان جذب کادمیم به ترتیب از $100/65$ میلی گرم بر گرم افزایش یافت. نتایج نشان داد که مدل ایزوترم لانگمیر بهترین مدل برای توصیف داده ها است ($R^2 = 0.997$). حداقل طرفیت جذب برای جذب کادمیم بر روی ۷۲/۹۹ میلی گرم بر گرم تخمین زده شد. با توجه به متوسط انرژی آزاد جذب به دست آمده از ایزوترم دوبنین-رادوشویج، جذب سطحی کادمیم بر روی نانوپودر سیلیکای تثبیت شده از مکانیسم شیمیایی پیروی می کند. مطالعه سینتیک نیز نشان داد که مدل شبه درجه دوم برای جذب کادمیم مناسب تر است ($R^2 = 0.999$). افزون بر این، مقادیر منفی ΔH° و ΔG° ماهیت اگزوترم و خودبدهخودی واکنش جذب کادمیم بر روی نانوپودر سیلیکای تثبیت شده را اثبات نمود.

واژه های کلیدی: جذب سطحی، آلتزینات، نانوپودر، کادمیم، تثبیت

Application of Immobilized Silica Nanopowder within Alginate for Cadmium Adsorption from Aqueous Solutions

R. Darvishi Cheshmeh Soltani¹ H. Godini² M.J. Ghannadzadeh³
M.S. Rajaei³ M. Safari⁴

(Received Dec. 30, 2013 Accepted Aug. 13, 2014)

Abstract

The main objective of the present study was to investigate Cd(II) adsorption by immobilized silica nanopowder within calcium alginate and to determine the isotherm, kinetics, and thermodynamics of the adsorption process. Batch flow mode reactors were used to investigate the effects of initial pH, contact time and metal ion concentration on Cd(II) adsorption. The optimal contact time and initial pH for Cd(II) adsorption were found to be 120 min and 4.0, respectively. Increasing Cd(II) ion concentration from 10 to 1000 mg/L led to increasing adsorbed Cd(II) ions from 5.71 to 100.65 mg/g. The results showed that the Langmuir isotherm model was the best model to describe the experimental data ($R^2=0.997$). The maximum adsorption capacity (q_m) for Cd(II) adsorption onto the adsorbent was estimated to be 72.99 mg/g. Based on the mean free energy of adsorption (E) obtained from Dubinin-Radushkevich (D-R) isotherm model, Cd(II) adsorption onto immobilized silica nanopowder follows a chemical mechanism ($E=8.451$ kJ/mol). The kinetic study indicated that the pseudo-second order model was a more suitable model than the pseudo-first order one for describing Cd(II) adsorption ($R^2=0.999$). Additionally, the negative ΔH° and ΔG° values demonstrated an exothermic and spontaneous Cd(II) adsorption onto immobilized silica nanopowder.

Keywords: Adsorption, Alginate, Nanopowder, Cadmium, Immobilization.

- Assist. Prof. of Environmental Health Engineering, Faculty of Public Health, Arak University of Medical Sciences, Arak (Corresponding Author) (+98 86) 33662024 darvishi@arakmu.ac.ir
- Assoc. Prof. of Environmental Health Engineering, Faculty of Public Health, Lorestan University of Medical Sciences, Khorramabad
- Faculty Member, Dept. of Environmental Health Engineering, Arak University of Medical Sciences, Arak
- Faculty Member, Dept. of Environmental Health Engineering, Kurdistan University of Medical Sciences, Sanandaj

- استادیار، عضو هیئت علمی گروه مهندسی بهداشت محیط، دانشکده بهداشت، دانشگاه علوم پزشکی اراک (نویسنده مسئول) (۰۸۶) ۳۳۶۶۲۰۲۴ darvishi@arakmu.ac.ir
- دانشیار، عضو هیئت علمی گروه مهندسی بهداشت محیط، دانشکده بهداشت دانشگاه علوم پزشکی لرستان، خرم‌آباد
- عضو هیئت علمی گروه مهندسی بهداشت محیط، دانشکده بهداشت دانشگاه علوم پزشکی اراک
- عضو هیئت علمی گروه مهندسی بهداشت محیط، دانشکده بهداشت دانشگاه علوم پزشکی کردستان، سنندج

۱- مقدمه

حضور فلزات سنگین در محیط‌های آبی و خاکی یکی از مهم‌ترین نگرانی‌های محیط زیستی است [۱]. در میان فلزات سنگین مختلف، حضور یون‌های فلز سنگین کادمیم باعث صدمات و بیماری‌های مختلفی در انسان می‌شود. بنابراین باید به نحوی حذف و یا از ورود آن به محیط جلوگیری شود. روش‌های متداولی برای حذف فلزات سنگین از پساب‌های صنعتی به کار برده شده‌اند که از آن جمله می‌توان به ترسیب شیمیایی، جذب سطحی بر روی کربن فعال، تصفیه الکتروشیمیایی، فرایند غشاوی، استخراج حلال و تبادل یون اشاره کرد [۲، ۳ و ۴]. جذب سطحی با انواع جاذب جامد نظیر کربن فعال، یکی از پرکاربردترین روش‌ها برای آلایندگانی محیط‌های آبی بوده است [۲]. با افزایش پساب‌های صنعتی حاوی یون‌های فلزات سنگین، نیاز به توسعه جاذب‌های نوین با کارایی بالا برای حذف فلزات سنگین احساس می‌شود. در این راستا، نانومواد مختلفی با توجه به اندازه کوچک و مساحت سطح زیاد برای جذب سطحی یون‌های فلزات سنگین در محیط‌های آبی به کار برده شده‌اند [۳ و ۵]. نشان داده شده است که یون‌های فلزات سنگین می‌توانند بر روی سطح اتم‌های غیراشباع جذب شوند، بنابراین نانومواد می‌توانند انتخابگرانه یون‌های فلزات سنگین را با ظرفیت جذب نسبتاً بالا جذب و حذف کند [۶].

از میان نانومواد مختلف، نانوذرات سیلیکا و ماده معدنی طبیعی آن نظیر کائولینیت، به طور گسترده‌ای به عنوان جاذب سطحی برای حذف آلاینده‌های مختلف استفاده شده‌اند [۷، ۵ و ۸]. از آنجاکه حذف نانومواد بدلیل اندازه بسیار کوچک آنها از پساب فاصلاب بسیار مشکل است، یکی از راهکارهای غلبه بر این مشکل می‌تواند تثبیت نانومواد با استفاده از مواد تثبیت کننده مناسب باشد [۹]. از جمله مزایای تثبیت، می‌توان به جداسازی راحت جاذب، دانسته بالای جاذب و افزایش ماند جاذب درون راکتور اشاره کرد [۱]. در گیر کدن جاذب‌های سطحی نظیر نانومواد فاقد ساپورت درون ماتریکس‌های پلیمری یکی از روش‌های مورد استفاده برای تثبیت است. آژینات یک پلیمر طبیعی تولید شده از جلبک قهوه‌ای است که به دلیل راحتی بهره‌برداری، آبدوستی و ظرفیت بالای جذب سطحی، برای تثبیت بسیار استفاده شده است [۱ و ۱۰]. در این مطالعه از نانوپودر سیلیکای تثبیت شده در آژینات کلسیم برای جذب سطحی یون‌های فلز سنگین کادمیم در محلول‌های آبی استفاده شد. تأثیر پارامترهای مختلف بهره‌برداری نظیر pH اولیه، زمان تماس و غلظت ماده جذب شونده بر روی فرایند جذب سطحی ارزیابی شد. در ادامه، ایزووترم، سینتیک و ترمودینامیک جذب سطحی کادمیم نیز مطالعه و بررسی شد.

۲- مواد و روش‌ها

۲-۱- تهیه نانوپودر سیلیکا

نانوپودر سیلیکا با استفاده از ترا اتیل اورتوسیلیکات^۱، هیدروکسید آمونیوم، اتانول و آب بدون یون تهیه شد. مواد مورد استفاده در این پژوهش درجه آزمایشگاهی بوده و از شرکت مرک آلمان تهیه شدند. به استثنای ترا اتیل اورتوسیلیکات که از شرکت سیگما آلدريچ^۲ تهیه شد. ابتدا ۲/۵ گرم هیدروکسید آمونیوم و ۱/۲ میلی لیتر آب بدون یون، در حلal اتانول به حجم ۵۰ میلی لیتر رسانده شد، سپس برای رسیدن به مخلوطی همگن با استفاده از یک همزن اختلاط صورت گرفت. ترکیب به دست آمده آهسته و تحت اختلاط آرام به محلول اتانول حاوی ۴/۲ گرم ترا اتیل اورتوسیلیکات اضافه شد. پس از آن به مدت ۲۴ ساعت در دمای اتاق قرار گرفت تا نانوپودر سیلیکا شکل بگیرد. در نهایت ترکیب به دست آمده در آون خشک و در دمای ۴۵۰ درجه سلسیوس به مدت دو ساعت تکلیس شد [۱۱]

۲-۲- آماده‌سازی جاذب

برای تثبیت نانوپودر سیلیکای تهیه شده، آژینات سدیم از BDH انگلستان خریداری شد. ابتدا نانوپودر سیلیکای تهیه شده در آژینات سدیم دو درصد با نسبت حجمی نانوپودر به آژینات سدیم برابر با ۱ به ۲، مخلوط شد. مخلوط به دست آمده به مدت ۲ ساعت برای رسیدن به همگنی اختلاط داده شد، سپس به مدت ۲۴ ساعت در مکانی ثابت قرار داده شد تا مخلوطی همگن بدون حباب به دست آید. مخلوط همگن با استفاده از سرنگ بر روی کلرید کلسیم ۵/۰ مولار تحت اختلاط چکانده شد. در اثر چکاندن مخلوط نانوپودر سیلیکا و آژینات سدیم بر روی کلرید کلسیم، دانه‌های آژینات کلسیم حاوی نانوپودر سیلیکا شکل گرفت. دانه‌های شکل گرفته به مدت ۲۴ ساعت در محلول کلرید کلسیم نگه داشته شد. در نهایت دانه‌ها جداسازی شدند و در دمای اتاق نگهداری شدند تا خشک شوند و اندازه واقعی خود را به دست آورند [۱ و ۱۰].

۲-۳- سیستم آزمایشگاهی جریان ناپیوسته

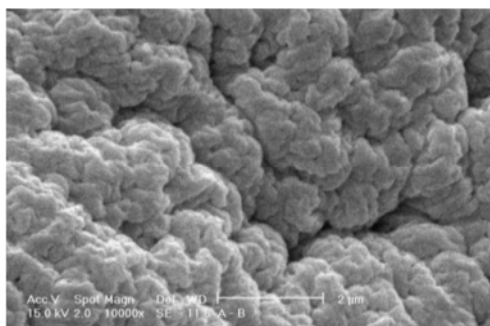
فلاسک‌های ارلن مایر با حجم ۱۰۰ میلی لیتر، به عنوان راکتورهای جریان ناپیوسته برای بررسی تأثیر pH اولیه، زمان تماس و غلظت ماده جذب شونده بر میزان جذب کادمیم استفاده شدند. محلول استوک کادمیم، به شکل نیترات کادمیم، با غلظت ۱۰۰۰ میلی گرم در لیتر تهیه و غلظت‌های دلخواه در فласک‌های ارلن مایر از این

¹ Tetraethyl Orthosilicate (TEOS)

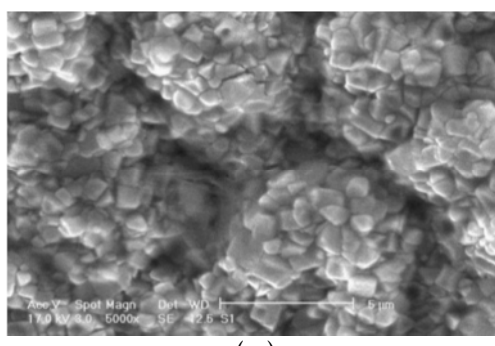
² Merck

³ Sigma Aldrich

از ۱۱/۰۹ به ۲۷/۱۱ میلی‌گرم بر گرم افزایش می‌یابد. pH اولیه یکی از تعیین کننده‌ترین متغیرها طی فرایند جذب سطحی است، زیرا بر روی بار سطحی جاذب تأثیرگذار است. در مقادیر pH پایین که به مقدار بیشتری یون هیدروژن تولید می‌شود، در نتیجه رقابت یون‌های هیدروژن با کاتیون‌های فلز کادمیم بر سر جذب بر روی جایگاه‌های فعال سطح جاذب، میزان جذب کاهش می‌یابد، در حالی که با افزایش pH، بار سطحی جاذب منفی می‌شود و جذب کاتیون‌های فلز کادمیم افزایش می‌یابد^[۴].

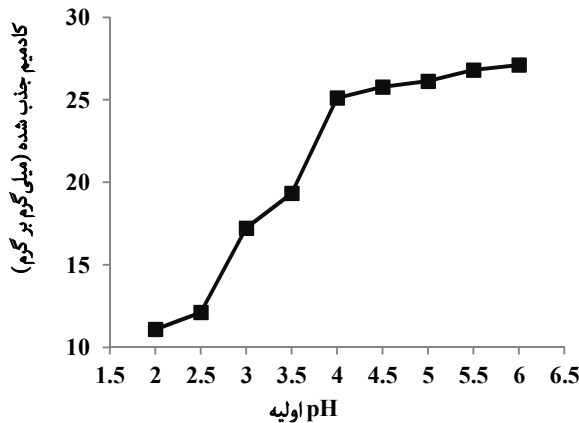


(الف)



(ب)

شکل ۱- تصاویر میکروسکوپ الکترونی الف- آژینات کلسیم خالص و ب- نانو پودر سیلیکای ثبیت شده در آژینات کلسیم



شکل ۲- تأثیر pH اولیه بر جذب کادمیم بر روی نانو پودر سیلیکای ثبیت شده در آژینات کلسیم

محلول استوک آماده شد. pH محلول با استفاده از هیدروکسید سدیم ۱/۰ مولار و اسید کلریدریک ۱/۰ مولار در ابتدای آزمایش‌ها تنظیم شد. به منظور تعیین جذب کادمیم در غیاب جاذب، یک فلاسک کنترل بدون جاذب نیز به کار برده شد. برای کنترل دقت نتایج، تمامی آزمایش‌ها دو بار تکرار شدند و میانگین به دست آمده در گزارش نهایی ثبت شد. برای اندازه‌گیری کادمیم باقیمانده در راکتورهای جریان ناپیوسته، نمونه‌ها از فلاسک‌ها برداشته و با استفاده از فیلتر ۴۵/۰ میکرون فیلتر شدند. اندازه‌گیری یون‌های کادمیم موجود در محلول، با استفاده از دستگاه طیف‌سنج جذب اتمی GBC 932 Plus، ساخت کشور استرالیا صورت گرفت. با توجه به رابطه ۱، میزان کادمیم جذب شده بر روی جاذب محاسبه شد

$$q = \frac{(C_0 - C)V}{M} \quad (1)$$

که در این رابطه

q میزان کادمیم جذب شده بر روی جاذب بر حسب میلی‌گرم بر گرم، C₀ غلظت اولیه کادمیم و C غلظت نهایی کادمیم در محلول بر حسب میلی‌گرم در لیتر، V حجم محلول بر حسب لیتر و M وزن جاذب بر حسب گرم است^[۲].

خصوصیات ساختاری نانوپودر سیلیکای ثبیت شده در آژینات کلسیم نیز با استفاده از میکروسکوپ الکترونی روبشی^۱ فیلیپس^۲ ساخت کشور هلند، تحلیل شد.

۳- نتایج و بحث

۱-۳- نتایج آنالیز میکروسکوپ الکترونی روبشی

تصاویر میکروسکوپ الکترونی روبشی گرفته شده از آژینات کلسیم و نانوپودر سیلیکای ثبیت شده در آژینات کلسیم با بزرگنمایی مشابه X ۱۰۰۰ در شکل ۱ نشان داده شده است. حضور نانوپودر سیلیکا در کنار آژینات کلسیم به عنوان عامل ثبیت کننده، در شکل ۱- ب مشهود است. مشاهده ساختار سطحی ترکیب نانوپودر سیلیکا و آژینات کلسیم با استفاده از میکروسکوپ الکترونی بیانگر ثبیت مناسب نانوپودر سیلیکا در آژینات کلسیم است.

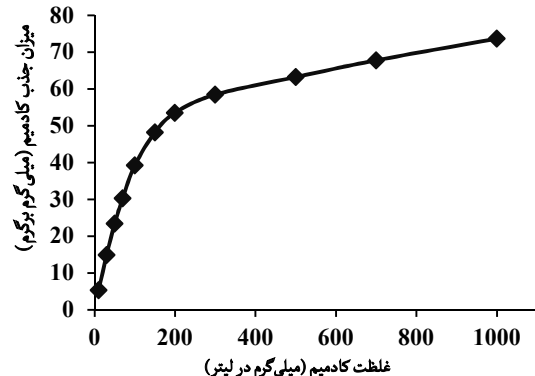
۲- تأثیر pH اولیه محلول

تأثیر pH اولیه بر میزان جذب کادمیم بر روی نانوپودر سیلیکای ثبیت شده در شکل ۲ نشان داده شده است. این شکل نشان می‌دهد که با افزایش pH از ۲ به ۶، میزان کادمیم جذب شده بر روی جاذب

¹ Scanning Electron Microscope (SEM)

² Philips XL30

می توان به افزایش نیروی رانش برای جذب بیشتر با افزایش غلظت یون های فلزی نسبت داد [۱۲].



شکل ۴- تأثیر غلظت اولیه کادمیم بر میزان جذب آن بر روی نانو سیلیکا تثیت شده در آلزینات کلسیم

۳-۵- مطالعه ایزووترم جذب

مدل های ایزووترم جذب فرون دلیچ، لانگمیر و دوبنین- رادوشویچ^۱ برای توصیف جذب کادمیم بر روی نانو سیلیکا تثیت شده در آلزینات کلسیم استفاده شدند. فرم خطی ایزووترم فرون دلیچ به صورت زیر است

$$\log q_e = \log K_F + \frac{1}{n} \log C_e \quad (2)$$

که در این رابطه

q_e میزان یون های فلزی جذب شده بر روی جاذب بر حسب میلی گرم بر گرم، C_e غلظت یون های فلزی باقیمانده در محلول بر حسب میلی گرم در لیتر و n ثابت های فرون دلیچ و به ترتیب مرتبط با شدت جذب و ظرفیت جذب جاذب هستند.

شکل خطی رابطه ایزووترم لانگمیر نیز به شکل زیر است

$$\frac{C_e}{q_e} = \frac{1}{Kq_m} + \frac{C_e}{q_m} \quad (3)$$

که در این رابطه

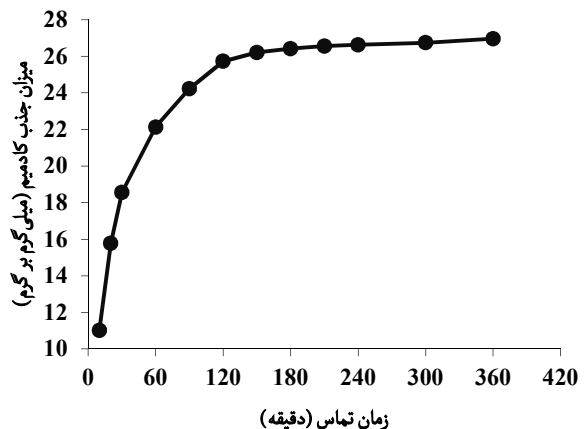
q_m حداقل ظرفیت جذب جاذب بر حسب میلی گرم در لیتر و K نیروی کشش مکان های جذبی برای جذب ماده جذب شونده، بر حسب لیتر بر میلی گرم است [۱]. در ارتباط با ایزووترم لانگمیر، فاکتور جداسازی (R_L) مطرح است که با رابطه زیر تعیین می شود [۳]

$$R_L = \frac{1}{1 + C_0 K} \quad (4)$$

حیدری و همکاران در سال ۲۰۰۹، نشان دادند در محدوده اسیدی با افزایش pH، میزان جذب کادمیم بر روی نانو سیلیکا باندده شده با گروه های آمین، افزایش می یابد [۳]. در ادامه آزمایش ها، با توجه به عدم تغییرات مشهود میزان جذب و نیز جلوگیری از تداخل عملکرد یون های هیدروکسیل تولیدی با فرایند جذب، راکتور های جریان ناپیوسته با pH اولیه 4 بهره بداری شد.

۳-۳- تأثیر زمان واکنش

شکل ۳ نشان می دهد که با افزایش زمان واکنش، میزان جذب کادمیم بر روی جاذب مورد مطالعه، افزایش می یابد. با افزایش زمان واکنش از 10 به ۳۶۰ دقیقه، میزان کادمیم جذب شده از $۱۱/۰۱$ به $۲۶/۹۶$ میلی گرم بر گرم افزایش می یابد. نمودار گویای این است که با افزایش زمان واکنش به بیش از ۱۲۰ دقیقه، میزان جذب کادمیم افزایش قابل ملاحظه ای نمی یابد، بنابراین زمان تماس ۱۲۰ دقیقه به عنوان زمان واکنش اختخابی در ادامه آزمایش ها به کار برده شد.



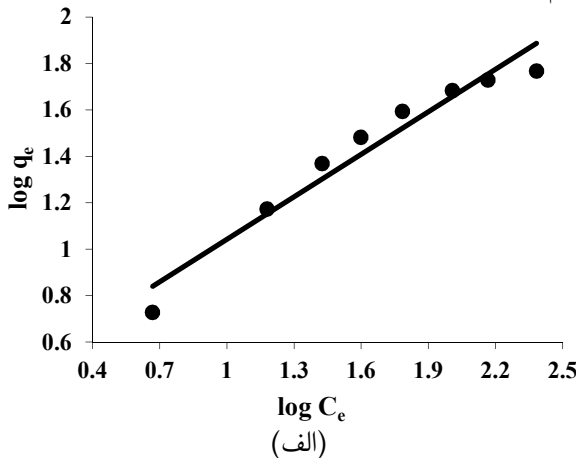
شکل ۳- جذب کادمیم بر روی نانو پودر سیلیکا تثیت شده تحت تأثیر زمان واکنش

۴-۴- تأثیر غلظت ماده جذب شونده

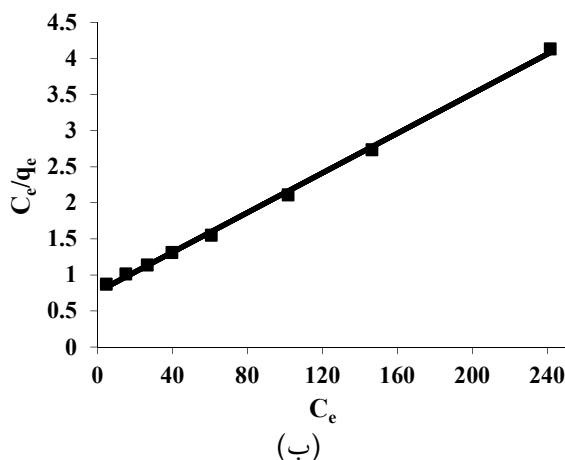
در شکل ۴ افزایش میزان جذب کادمیم بر روی نانو پودر سیلیکا تثیت شده در آلزینات کلسیم با افزایش غلظت کادمیم مشهود است. با افزایش غلظت کادمیم از 10 به ۱۰۰۰ میلی گرم در لیتر، میزان کادمیم جذب شده از $۵/۳۴$ به $۷۳/۶۵$ میلی گرم بر گرم افزایش می یابد. به نظر می رسد با افزایش غلظت کادمیم به بیش از ۳۰۰ میلی گرم در لیتر، نمودار به دست آمده به تدریج به موازات محور افقی درآمده است، به نحوی که غلظت کادمیم ۳۰۰ میلی گرم در لیتر را می توان غلظت تعادلی برای مطالعه ایزووترم در نظر گرفت. افزایش میزان کادمیم جذب شده با افزایش غلظت اولیه را

^۱ Dubinin-Radushkevich (D-R)

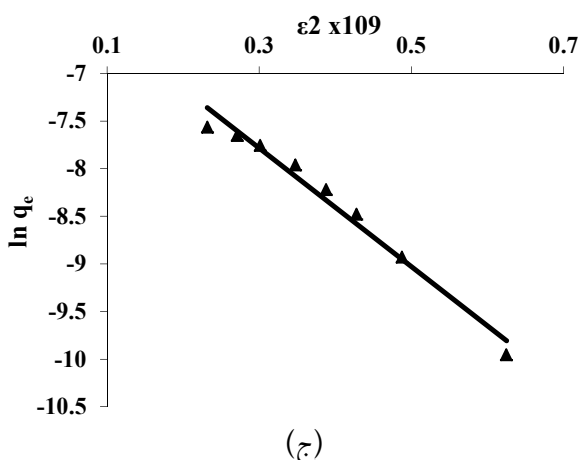
بر روی جاذب مورد مطالعه، بیشترین تطابق را ارائه می‌دهد $R^2 = 0.999$. با توجه به جدول ۱، حداقل ظرفیت جذب نانوپودر سیلیکای تثبیت شده برای جذب کادمیم $72/99$ میلی‌گرم بر گرم است.



(الف)



(ب)



(ج)

شکل ۵- الف- ایزوترم های فروندلیچ، ب- لانگمیر و پ- دوبنین- رادوشویچ، برای جذب کادمیم بر روی نانوسیلیکای تثبیت شده در آذینات کلسیم

که در این رابطه C_0 غلظت اولیه ماده جذب شونده بر حسب میلی‌گرم در لیتر و K ثابت لانگمیر بر حسب لیتر بر میلی‌گرم است.

مقادیر فاکتور جداسازی با سه بازه تحلیل می‌شود: اگر R_L برابر صفر باشد، یعنی واکنش جذب برگشت‌پذیر است. اگر R_L بین صفر و یک باشد، یعنی واکنش مطلوب است و در صورتی که بزرگ‌تر از یک باشد، فرایند جذب مطلوب نخواهد بود.

مدل ایزوترم دوبنین- رادوشویچ نیز برای تعیین ماهیت شیمیایی و یا فیزیکی فرایند جذب، به طور گسترده‌ای استفاده شده است. شکل خطی این ایزوترم در رابطه زیر نشان داده شده است

$$\ln Q = \ln Q_m - k\epsilon^2 \quad (5)$$

که در این رابطه Q میزان آلانده جذب شده بر روی جاذب بر حسب مول بر گرم، Q_m ظرفیت جذب جاذب بر حسب مول بر گرم و k ثابت مرتبط با انرژی جذب بر حسب مجذور مول بر مجذور ژول است. همچنین ϵ پتانسیل پلانی^۱ بر حسب مجذور ژول بر مجذور مول است. که با استفاده از رابطه زیر تعیین می‌شود [۱۳]

$$\epsilon = RT \ln(1 + \frac{1}{C_e}) \quad (6)$$

که در این رابطه R ثابت جهانی گازها برابر $۰/۳۱۴$ ژول بر مول در درجه کلوین و T دما بر حسب کلوین است. انرژی آزاد متوسط جذب کادمیم (E) با استفاده از مقدار متغیر k ، به دست آمده از راه رابطه ۵ و بر اساس رابطه زیر تعیین می‌شود

$$E = \frac{1}{\sqrt{-2k}} \quad (7)$$

با استفاده از مقدار E می‌توان به مکانیسم جذب پی برد. اگر مقدار E بین ۸ و ۱۶ کیلوژول بر مول باشد، ماهیت جذب شیمیایی است و در صورتی که کمتر از ۸ کیلوژول بر مول باشد، مکانیسم جذب فیزیکی خواهد بود [۱۳]. در ارتباط با نتایج مطالعه ایزوترم، در شکل ۵، رگرسیون خطی ایزوترم‌های فروندلیچ، لانگمیر و دوبنین- رادوشویچ نشان داده شده است. برای تحلیل ایزوترم‌های مختلف جذب، pH اولیه، دز جاذب و زمان واکنش به ترتیب در مقادیر ۴ و ۱ گرم در لیتر و ۱۲۰ دقیقه تنظیم شدند. با توجه به جدول ۱، مقادیر ضرایب تعیین به دست آمده برای ایزوترم‌های مختلف نشان می‌دهد که ایزوترم جذب لانگمیر برای جذب کادمیم

^۱ Polanyi Potential

۶-۳- مطالعه سینتیک جذب

مطالعه سینتیک جذب برای پیش‌بینی نرخ و سرعت جذب و در راستای مدل‌سازی و طراحی فرایند بسیار مهم است. مدل‌های سینتیکی شبه درجه اول و شبه درجه دوم، به عنوان پرکاربردترین مدل‌ها، برای ارزیابی مکانیسم جذب به کار برده شدند. رابطه زیر می‌بین شکل خطی مدل شبه درجه اول است

$$\log(q_e - q) = \log q_e - \frac{k_{1,ad}}{2.303} t \quad (8)$$

که در این رابطه

q میزان ماده جذب شده بر روی جاذب در زمان t بر حسب میلی‌گرم بر گرم و $k_{1,ad}$ ثابت سرعت جذب بر حسب عکس دقیقه است. خط راست حاصل از نمودار $\log(q_e - q)$ در برابر t ، بیانگر این است که مدل شبه درجه اول، توصیف مطلوبی از جذب ارائه دهد. شکل خطی مدل شبه درجه دوم نیز در زیر آمده است

$$\frac{t}{q} = \frac{1}{k_{2,ad} q_e^2} + \frac{1}{q_e} t \quad (10)$$

که در این رابطه

$k_{2,ad}$ ثابت سرعت مدل شبه درجه دوم بر حسب گرم بر میلی‌گرم در دقیقه است.

خط راست حاصل از نمودار q/t در برابر t بیانگر این است که مدل شبه درجه اول توصیف مطلوبی از جذب ارائه می‌دهد [۱۴]. در شکل ۶ رگرسیون خطی مدل سینتیک شبه درجه اول و شبه درجه دوم قابل مشاهده است. برای تحلیل سینتیک جذب کادمیم، pH اولیه، غلظت اولیه کادمیم، دز جاذب و زمان تماس به ترتیب ۴، ۵۰، ۱ گرم در لیتر، ۱۲۰ دقیقه در نظر گرفته شد. متغیرهای مدل‌های سینتیکی مورد مطالعه در جدول ۳ نشان داده شده‌اند. مقایسه ضرایب تعیین اکتسابی نشان دهنده این است که مدل سینتیکی شبه درجه دوم، تطبیق بیشتری داشته و برای توصیف جذب کادمیم مناسب‌تر از مدل شبه درجه اول است ($R^2 = ۰.۹۹۹$). در ارتباط با تبعیت جذب کادمیم از مدل‌های سینتیکی، در صورتی که فرایند برگشت‌پذیر با نفوذ از میان لایه جاذب به صورت یک فرایند برگشت‌پذیر با نفوذ از میان لایه مرزی^۱ جاذب محدود شود، فرایند از مدل سینتیکی شبه درجه اول پیروی می‌کند. با این حال در فرایند جذب، مکانیسم‌های مختلفی دخیل‌اند که از جمله آنها می‌توان به برهمکنش‌های الکترواستاتیک و شیمیابی بین مکان‌های فعال برای جذب و یون‌های فلزی اشاره کرد، بنابراین مدل شبه درجه دوم بهترین تطبیق را برای جذب سطحی یون‌های فلزی بر روی جاذب خواهد داشت [۱ و ۴].

جدول ۱- متغیرهای ایزوترم‌های مختلف برای جذب کادمیم بر روی نانو پودر سیلیکائی تثبیت شده در آژینات کلسیم

نوع ایزوترم	متغیر	مقدار
ایزوترم فرونالیج	K_f	۲/۷۰۸
	n	۱/۶۳۹
	R^2	۰/۹۴۹
	q_m (mg/g)	۷۲/۹۹
ایزوترم لانگمیر	$(L/mg) K$	۰/۰۱۷۹
	R_L	۰/۱۵۷-۰/۵۲۷
	R^2	۰/۹۹۹
	6×10^{-9} (mol ² /J ²) K	
ایزوترم دوبینن- رادوشویچ	$(mol/g) Q_0$	۰/۰۰۲۷
	$(kJ/mol) E$	۹/۱۲۹
	R^2	۰/۹۷۷

در جدول ۲، حداکثر ظرفیت جذب نانو پودر سیلیکائی تثبیت شده برای جذب کادمیم با جاذب‌های دیگر مقایسه شده است. داده‌های جدول ۲ حاکی از آن است که حداکثر ظرفیت جذب نانو پودر سیلیکائی تثبیت شده در آژینات کلسیم قابل مقایسه و یا بیشتر از سایر جاذب‌ها است. داده‌های جدول ۱ نشان می‌دهد که R_L بین ۰/۱۹۷ و ۰/۵۹۵ است، بنابراین فرایند جذب کادمیم بر روی نانو پودر سیلیکائی تثبیت شده مطلوب است. برای تعیین مکانیسم جذب، داده‌های آزمایشگاهی با ایزوترم دوبینن- رادوشویچ تطبیق نمودار InQ^0 و K به ترتیب با استفاده از عرض از مبدأ و شیب نمودار در برابر t^2 به دست آمده و در جدول ۱ نشان داده شده است. با توجه به جدول ۱، مقدار انرژی آزاد متوسط جذب کادمیم، بر روی نانو پودر سیلیکائی تثبیت شده در آژینات کلسیم ۹/۱۲۹ کیلوژول بر مول به دست آمد که بیانگر ماهیت شیمیایی جذب کادمیم بر روی نانو پودر سیلیکائی تثبیت شده است.

جدول ۲- حداکثر ظرفیت جذب جاذب‌های مختلف برای جذب کادمیم در محیط‌های آبی در مقایسه با جاذب مورد مطالعه

نوع جاذب	حداکثر ظرفیت جذب (میلی گرم بر گرم)	منبع
Amino-functionalized nano mesoporous silica	۱۸/۲۵	[۳]
Amino-functionalized silica nano hollow sphere	۴۰/۷۳	[۱۴]
Amino-functionalized silica gel	۳۱/۸۹	[۱۴]
Magnetic p(AMPS) hydrogel composite	۱۴۰/۸۵	[۱۵]
Nano-iron oxide supported with treated municipal sewage sludge	۱۴/۷	[۱۶]
Nano-hydrated ferric oxide supported with polyacrylamide	۱۴۷/۲	[۱۶]
Calcium alginate	۳۰/۹۱	[۱۰]
Immobilized Fucus vesiculosus within alginate	۶۵/۰۸	[۱۰]
Immobilized silica nanopowders within alginate	۷۲/۹۹	مطالعه حاضر

^۱ Boundary Layer

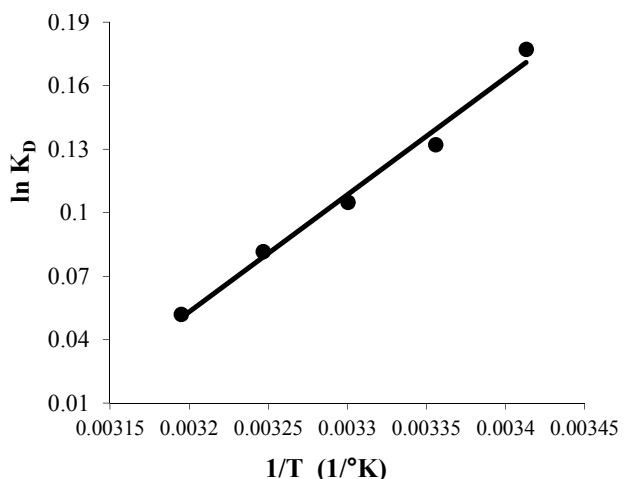
کیلوژول بر مول، تغییر آنتالپی^۲ (ΔH°) برحسب کیلوژول بر مول و تغییر انتروپی^۳ (ΔS°) برحسب کیلوژول بر مول در کلوبین، برای جذب کادمیم بر روی نانوپودر سیلیکائی ثبت شده با استفاده از روابط زیر محاسبه شد

$$\Delta G^\circ = -RT \ln K_D \quad (10)$$

$$\ln K_D = \frac{\Delta S^\circ}{R} - \frac{\Delta H^\circ}{RT} \quad (11)$$

که در این روابط R ثابت گازها، T دما برحسب کلوبین و K_D (q_e/C_e) ضریب توزیع است [۱۷].

با استفاده از شبیه $(-\Delta H^\circ/R)$ و عرض از مبدأ $(\Delta S^\circ/R)$ نمودار $\ln K_D$ در برابر $1/T$ ، به ترتیب آنتالپی و انتروپی جذب تخمین زده شد (شکل ۷). مقادیر این متغیرها در جدول ۴ نشان داده شده‌اند. نگاهی بر جدول ۴ نشان می‌دهد که مقادیر ΔG° به دست آمده از مطالعه ترمودینامیک، منفی است و بیانگر این است که ماهیت جذب کادمیم بر روی نانو سیلیکائی ثبت شده در آژینات کلسیم، به صورت خودبه‌خودی است. مقادیر منفی ΔH° نیز نشان دهنده این است که فرایند جذب کادمیم اگزوترم است. افزون بر این، منفی بودن متغیر ΔS° گویای کاهش درجه آزادی یون‌های کادمیم جذب شده بر روی مکان‌های جذبی جاذب است [۱۸].

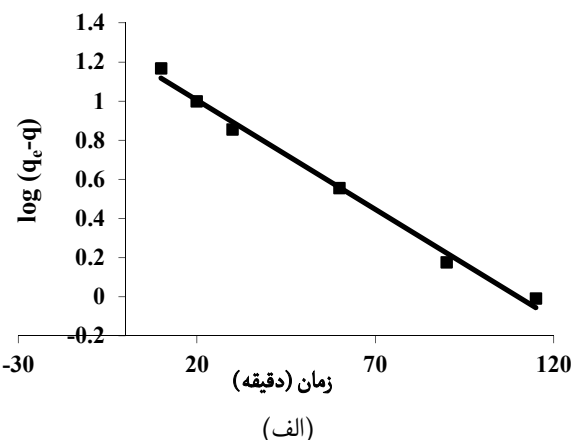


شکل ۷- نمودار ترمودینامیک جذب کادمیم بر روی نانو سیلیکائی ثبت شده در آژینات کلسیم

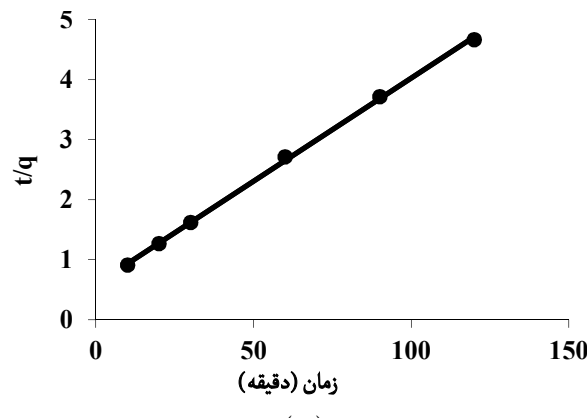
² Enthalpy Change
³ Entropy Change

جدول ۳- نتایج مطالعه سینتیک جذب کادمیم بر روی نانو پودر سیلیکائی ثبت شده در آژینات کلسیم

نوع مدل سینتیکی	متغیر	مقدار
	R^2	۰/۹۹۲
مدل شبه درجه اول	$k_{1,ad}$ (1/min)	۰/۰۲۶
	q_e (mg/g)	۱۶/۹۳۶
	R^2	۰/۹۹۹
مدل شبه درجه دوم	$K_{2,ad}$ (g/mg.min)	۰/۰۵۸
	q_e (mg/g)	۲۹/۱۵



(الف)



(ب)

شکل ۶- نمودار سینتیک (الف)- شبه درجه اول و (ب)- شبه درجه دوم کاذب، برای جذب کادمیم بر روی نانو سیلیکائی ثبت شده در آژینات کلسیم

۷-۳- مطالعه ترمودینامیک جذب

مطالعه ترمودینامیک با تغییر دمای راکتورهای جریان ناپیوسته بین ۲۰ تا ۴۰ درجه سلسیوس برابر با ۲۹۳ تا ۳۱۳ درجه کلوبین، انجام شد. تغییر انرژی آزاد یا انرژی آزاد گیبس^۱ (ΔG°) برحسب

¹ Gibbs Free Energy

بهره‌برداری فرایند به صورت مقیاس کامل با راکتوری با حجم کمتر میسر خواهد بود. مدل ایزوترم لانگمیر و مدل سینتیکی شبه درجه دوم، بهترین توصیف را از جذب کادمیم بر روی نانوپودر سیلیکائی ثبت شده ارائه دادند. همچنین نتایج مطالعه ترمودینامیک جذب، بیانگر ماهیت آگروترم و خودبه خودی فرایند جذب کادمیم بر روی جاذب ثبت شده است. با توجه به نتایج بدست آمده از این مطالعه، می‌توان گفت که نانوپودر سیلیکائی ثبت شده در آژینات کلسیم می‌تواند جاذبی کارآمد و آینده‌دار برای حذف کاتیون‌های فلزات سنگین در محیط‌های آبی باشد.

۵- قدردانی

نویسنده‌گان این مقاله، از حمایت دانشگاه علوم پزشکی اراک و دانشگاه علوم پزشکی لرستان برای پیشبرد این پژوهش تشکر و قدردانی می‌کنند.

جدول ۴- نتایج به دست آمده از مطالعه ترمودینامیک جذب کادمیم بر

روی نانو پودر سیلیکائی ثبت شده در آژینات کلسیم

	ΔH° (kJ/mol)	ΔS° (kJ/mol K)	ΔG° (kJ/mol)	دما (K)
	- ۰/۴۳۱۸			۲۹۳
	- ۰/۳۲۷۵			۲۹۸
- ۴/۵۹۹	- ۰/۰۱۴۳	- ۰/۲۶۴۲	- ۰/۲۰۹۱	۳۰۳
			- ۰/۱۳۵۳	۳۱۳

۴- نتیجه‌گیری

در این مطالعه، جذب سطحی یون‌های فلز سنگین کادمیم بر روی نانوپودر سیلیکائی ثبت شده در آژینات کلسیم بررسی شد. نتایج نشان داد که با افزایش pH اولیه محلول در محدوده اسیدی، میزان جذب کادمیم بر روی جاذب افزایش می‌یابد. همچنین، با توجه به زمان واکنش کوتاه برای رسیدن به تعادل جذب (۱۲۰ دقیقه)،

۶- منابع

1. Khorramabadi, G.S., Soltani, R.D.C., Rezaee, A., Khataee, A.R., and Jonidi Jafari, A. (2012). "Utilisation of immobilised activated sludge for the biosorption of chromium (VI)." *The Canadian J. of Chemical Engineering*, 90, 1539-1546.
2. Dong, L., Zhu, Z., Ma, H., Qiu, Y., and Zhao, J. (2010). "Simultaneous adsorption of lead and cadmium on MnO₂-loaded resin." *J. of Environmental Sciences*, 22, 225-229.
3. Heidari, A., Younesi, H., and Mehraban, Z. (2009). "Removal of Ni(II), Cd(II), and Pb(II) from a ternary aqueous solution by amino functionalized mesoporous and nano mesoporous silica." *Chemical Engineering Journal*, 153, 70-79.
4. Soltani, R.D.C., Rezaee, A., Khorramabadi, G.S., and Yaghmaeian, K. (2011). "Optimization of lead (II) biosorption in an aqueous solution using chemically modified aerobic digested sludge." *J. of Water Science and Technology*, 63, 129-135.
5. Rostamian, R., Najafi, M., and Rafati, A.A. (2011). "Synthesis and characterization of thiol-functionalized silica nano hollow sphere as a novel adsorbent for removal of poisonous heavy metal ions from water: Kinetics, isotherms and error analysis." *Chemical Engineering Journal*, 171, 1004-1011.
6. Huang, S-H., and Chen, D-H. (2009). "Rapid removal of heavy metal cations and anions from aqueous solutions by an amino-functionalized magnetic nano-adsorbent." *J. of Hazardous Materials*, 163, 174-179.
7. Anbia, M., and Lashgari, M. (2009). "Synthesis of amino-modified ordered mesoporous silica as a new nano sorbent for the removal of chlorophenols from aqueous media." *Chemical Engineering Journal*, 150, 555-560.
8. Gude, K., Gun'ko, V.M., and Blitz, J.P. (2008). "Adsorption and photocatalytic decomposition of methylene blue on surface modified silica and silica-titania." *Colloids and Surfaces A: Physicochemical and Engineering Aspects*, 325, 17-20.
9. Zhao, X., Lv, L., Pan, B., Zhang, W., Zhang, S., and Zhang, Q. (2011). "Polymer-supported nanocomposites for environmental application: A review." *Chemical Engineering Journal*, 170, 381-394.

10. Mata, Y.N., Blázquez, M.L., Ballester, A., González, F., and Muñoz, J.A. (2009). "Biosorption of cadmium, lead and copper with calcium alginate xerogels and immobilized *Fucus vesiculosus*." *J. of Hazardous Materials*, 163, 555-562.
11. Lipski, A.M., Pino, C.J., Haselton, F.R., Chen, I.W., and Shastri, V.P. (2008). "The effect of silica nanoparticle-modified surfaces on cell morphology, cytoskeletal organization and function." *J. of Biomaterials*, 29, 3836-3846.
12. Akar, T., Kaynak, Z., Ulusoy, S., Yuvaci, D., Ozsari, G., and Akar, S.T. (2009). "Enhanced biosorption of nickel(II) ions by silica-gel-immobilized waste biomass: Biosorption characteristics in batch and dynamic flow mode." *J. of Hazardous Materials*, 163, 1134-1141.
13. Nadavala, S.K., Swayampakula, K., Boddu, V.M., and Abburi, K. (2009). "Biosorption of phenol and o-chlorophenol from aqueous solutions on to chitosan-calcium alginate blended beads." *J. of Hazardous Materials*, 162, 482-489.
14. Najafi, M., Yousefi, Y., and Rafati, A.A. (2012). "Synthesis, characterization and adsorption studies of several heavy metal ions on Amino-Functionalized Silica Nano Hollow Sphere and Silica Gel." *J. of Separation and Purification Technology*, 85, 193-205.
15. Ozay, O., Ekici, S., Baran, Y., Aktas, N., and Sahiner, N. (2009). "Removal of toxic metal ions with magnetic hydrogels." *J. of Water Research*, 43, 4403-4411.
16. Hua, M., Zhang, S., Pan, B., Zhang, W., Lv, L., and Zhang, Q. (2012) "Heavy metal removal from water/wastewater by nanosized metal oxides: A review." *J. of Hazardous Materials*, 211/212, 317-331.
17. Sari, A., and Tuzen, M. (2008). "Biosorption of total chromium from aqueous solution by red algae (*Ceramium virgatum*): Equilibrium, kinetic and thermodynamic studies." *J. of Hazardous Materials*, 160, 349-355.
18. Rahmani, A., Zavar, Mousavi, H., and Fazli, M. (2010). "Effect of nanostructure alumina on adsorption of heavy metals." *J. of Desalination*, 253, 94-100.